

小鼠骨髓间充质干细胞通过miR-130b调控上皮钠通道的机制研究

张红蕾 周祉妤 候亚鹏 刘宏飞 王琳 丁炎 聂宏光*

(中国医科大学基础医学院干细胞与再生医学研究室, 沈阳 110122)

摘要 该研究旨在探讨小鼠骨髓间充质干细胞(bone marrow mesenchymal stem cells, BMSCs)通过miR-130b对上皮钠通道(epithelial sodium channel, ENaC)的影响。将分离与培养的小鼠BMSCs接种到Transwell小室中, 然后与H441细胞进行共培养。利用CCK-8试剂盒检测BMSCs对H441细胞生存能力的影响; 采用Western blot技术检测BMSCs对共培养的H441细胞中 γ -ENaC蛋白水平的影响; qRT-PCR技术检测与BMSCs共培养的H441细胞中miR-130b表达情况, 然后将此microRNA转染到普通培养的H441细胞中, 在蛋白水平进一步验证其对H441细胞中 γ -ENaC的影响。实验结果表明, BMSCs能够增强H441细胞的生存能力; 同时BMSCs能分别增加共培养的H441细胞中 γ -ENaC的蛋白水平以及miR-130b的转录水平; Western blot实验进一步证实, miR-130b转染至H441细胞后能够增加其 γ -ENaC的蛋白表达。由此我们推测, BMSCs能够增强H441细胞的生存能力并且可能通过miR-130b发挥其对 γ -ENaC的蛋白水平调控作用。

关键词 骨髓间充质干细胞; 上皮钠通道; microRNA

Mechanism of Mouse Bone Marrow Mesenchymal Stem Cells Regulating Epithelial Sodium Channel via miR-130b

ZHANG Honglei, ZHOU Zhiyu, HOU Yapeng, LIU Hongfei, WANG Lin, DING Yan, NIE Hongguang*

(Department of Stem Cells and Regenerative Medicine, China Medical University, Shenyang 110122, China)

Abstract The aim of this study was to investigate the effects of mouse BMSCs (bone marrow mesenchymal stem cells) on ENaC (epithelial sodium channel) via miR-130b. The isolated and cultured mouse BMSCs were seeded onto the transwell inserts and then co-cultured with H441 cells. The effect of BMSCs on the viability of H441 cells was detected by CCK-8 reagent. The effect of BMSCs on the level of γ -ENaC protein in co-cultured H441 cells was detected by Western blot. The expression of miR-130b in H441 cells co-cultured with BMSCs was detected by qRT-PCR. The microRNA was then transfected into normal cultured H441 cells, and its effect on γ -ENaC in H441 cells was further verified at the protein level. The results showed that BMSCs could enhance the viability of H441 cells. BMSCs could increase the protein level of γ -ENaC and the transcription level of miR-130b in co-cultured H441 cells respectively. Western blot analysis further confirmed that miR-130b could increase the protein expression of γ -ENaC after transfection into H441 cells. Thus, we speculate that BMSCs can enhance the viability

收稿日期: 2019-06-27 接受日期: 2019-11-06

国家自然科学基金(批准号: 81670010)和辽宁省重点研发计划指导计划项目(批准号: 2018225077)资助的课题

*通信作者。Tel: 024-23256666-6028, E-mail: hgnie@cmu.edu.cn

Received: June 27, 2019 Accepted: November 6, 2019

This work was supported by the National Natural Science Foundation of China (Grant No.81670010) and Liaoning Provincial Key Research and Development Program Guidance Project (Grant No.2018225077)

*Corresponding author. Tel: +86-24-23256666-6028, E-mail: hgnie@cmu.edu.cn

URL: <http://www.cjcb.org/arts.asp?id=5156>

of H441 cells and may exert its regulation of γ -ENaC protein level through miR-130b.

Keywords bone marrow mesenchymal stem cells; epithelial sodium channel; microRNA

急性肺损伤(acute lung injury, ALI)是一种临床综合征, 主要特征之一为严重的肺水肿^[1]。肺上皮细胞中的上皮钠通道(epithelial sodium channel, ENaC)在肺泡液体清除过程中具有重要的作用, 而肺泡液体清除有助于减轻肺水肿病情^[2]。间充质干细胞(mesenchymal stem cells, MSCs)是目前研究最为广泛的成体干细胞, MSCs来源广泛, 其趋化性和增殖潜力大, 并且能够分化成多种类型的细胞^[3], 其在再生医学的研究领域中具有较高的研究价值^[4]。MSCs的治疗作用已在许多肺部疾病中被证实, 其中包括ALI^[5]。MSCs可释放由多种miRNA(microRNA)组成的外泌体/微泡, 这些miRNA可能参与多种肺部疾病^[5-7]。miRNA参与生命过程中一系列的重要进程, 在细胞增殖、免疫反应、炎症和细胞凋亡中起重要作用^[8]。已有研究发现, miRNA可以调节ENaC^[9], 我们推测, MSCs可能通过其分泌的一种或多种miRNA对ENaC产生调控作用。本研究中, 我们首先应用Miranda和TargetScan等多个预测软件进行预测, 筛选出可能对ENaC有调控作用的miR-130b。我们进一步应用脂多糖(lipopolysaccharide, LPS)建立体外ALI模型, 旨在探讨小鼠骨髓间充质干细胞(bone marrow mesenchymal stem cells, BMSCs)对H441细胞生存能力和ENaC表达的影响, 由此推测MSCs可能通过miR-130b对ENaC发挥调控作用, 进而影响肺泡液体清除, 在临幊上缓解水肿型ALI^[10]。

1 材料与方法

1.1 实验材料

SPF级雄性C57小鼠, 3周龄, 体质量为9~10 g, 由中国医科大学动物部提供, 动物合格证书编号为SYXK(辽)2018-0008; H441细胞株购自美国模式培养物集存库; DMEM/F12培养基、RPMI-1640培养基和胎牛血清购自HyClone公司; 重组小鼠碱性成纤维细胞生长因子购自PeproTech公司; CCK-8购自上海碧云天生物技术有限公司; 小鼠抗 γ -ENaC单克隆抗体购自Abcam公司; 小鼠抗 β -actin单克隆抗体、辣根过氧化物酶标记的羊抗兔IgG和羊抗鼠IgG购自Santa Cruz公司; ECL试剂盒购自Thermo Fisher公司; 逆转录试剂盒和实时定量PCR试剂盒购自TaKaRa公司;

转染试剂siRNA-mate和miRNAs NC/mimics/抑制剂NC/抑制剂购自Genepharma公司。

1.2 分离与培养小鼠BMSCs

本实验遵循中国医科大学伦理委员会制定的相关规定(理审批号: 14026M)。C57雄性小鼠处死后, 于75%乙醇中浸泡10 min, 将其转移至超净台10 cm直径培养皿中对小鼠进行解剖, 分离出小鼠的两根股骨, 放置在提前预冷的PBS中, 剔除肌肉和筋膜, 转移至干净的预冷的PBS中。用装有2 mL含有重组小鼠碱性成纤维细胞生长因子(10 ng/mL)、10%胎牛血清、1%青霉素/链霉素的DMEM/F12培养基的5 mL注射器, 从小鼠股骨一端注入培养基冲洗股骨至6孔板中, 将所有骨髓完全冲洗干净, 然后于37 °C、5% CO₂培养箱中培养24 h后换液, 此后隔天换液, 当细胞融合达80%左右进行传代。当给细胞进行第2次传代时, 将细胞传至6孔Transwell小室中或24孔Transwell小室中, 培养24 h后进行与H441细胞的共培养。

1.3 检测BMSCs对H441细胞生存能力的影响

将H441细胞接种于24孔板中, 用含10%胎牛血清、1%青霉素/链霉素的RPMI-1640培养基于37 °C、5% CO₂培养箱中培养24 h。吸去培养基, 用PBS清洗细胞3次, 加入无血清的DMEM/F12培养基培养24 h, 将细胞随机分为4组: 第1组为无血清DMEM/F12培养基对照组(Control组, CON); 第2组用无血清DMEM/F12培养基预处理12 h后加入LPS(5~10 μ g/mL)继续培养12 h(LPS组); 第3组加入已接种了BMSCs的Transwell小室(Co-culture组, CO); 第4组加入已接种了BMSCs的Transwell小室12 h后再加入LPS继续培养12 h(Co-culture+LPS组, CO+LPS)。培养结束后, 吸去各组培养基, 加入含10% CCK-8的DMEM/F12培养基, 避光孵育1 h, 获取反应后的溶液用酶标仪于450 nm测定D值, 计算细胞存活率。

1.4 Western blot分析

按1.3中分组培养细胞, 24 h后用细胞裂解液提取细胞中的蛋白, 于恒温金属浴95 °C加热10 min使蛋白变性, 然后在-20 °C冰箱中保存。加入等量蛋白样品, 用10%聚丙烯酰胺凝胶进行SDS-PAGE分析, 然后将样品转到PVDF膜上。用5%小牛血清白蛋白于室温孵育1 h后, 加入一抗(1:2 000稀释), 于4 °C下

孵育过夜。第2天,加入相应的二抗(1:2 000稀释),室温孵育1 h,应用ECL试剂盒分析图像。

1.5 qRT-PCR分析

按1.3中分组培养细胞,24 h后用TRIzol试剂提取总RNA。用紫外分光光度计检测并分析RNA浓度和纯度,选取D260/280、D260/230均在1.8~2.0的RNA样品0.5 μg,按miRNA逆转录试剂盒的说明书进行逆转录体系配制和逆转反应,反应完成后,加90 μL ddH₂O进行稀释,将样品保存在-80°C。应用SYBR Premix Ex Taq II kit试剂盒进行qRT-PCR反应。反应条件为预变性95 °C 30 s,单循环;95 °C 5 s,60 °C 34 s,40个循环。以U6表达作为内参标定miR-130b的表达量,并对结果进行比较分析,得出各组的miR-130b的表达情况。

1.6 miR-130b的转染

将H441细胞接种于6孔板中,待细胞密度达到50%~60%时,弃掉培养液,用PBS清洗细胞3次,换成无血清培养液。将实验分成4组:第1组为NC(negative control)组、第2组为Mimic(miR-130b mimic)组、第3组为IN+NC(miR-130b inhibitor negative control)组、第4组为Inhibitor(miR-130b inhibitor)组。首先进行转染复合物的配制,向无菌的EP管中加入200 μL的无血清的RPMI-1640培养基,分别向其中加入转染试剂siRNA-mate 4 μL以及上述分组物质3 μL,快速混匀,放置20 min,待形成转染复合物后,将各组混合物点加到6孔板中,于37 °C、5% CO₂培养箱中培养6 h后,弃掉液体,换成含有血清的培养液培养72 h,收集细胞,用Western blot技术检测miR-130b对γ-ENaC蛋白表达的影响。

1.7 统计学处理

用 $\bar{x}\pm s$ 表示实验结果,组间比较采用t检验。应用ImageJ软件对Western blot结果进行数据分析,应用Origin 8.0软件对数据进行统计分析, $P<0.05$ 认为差异具有统计学意义。

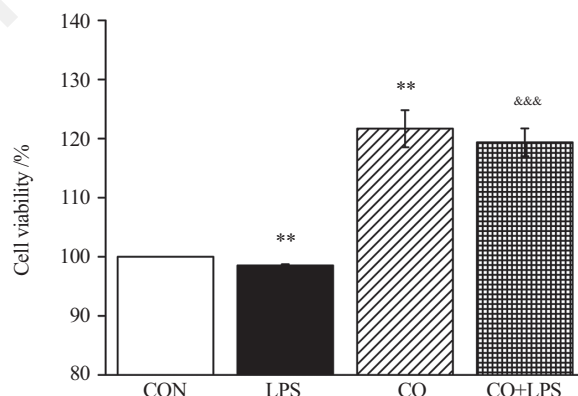
2 结果

2.1 BMSCs对H441细胞生存能力的影响

通过CCK-8实验我们检测了BMSCs对H441细胞生存能力的影响。如图1所示,细胞生存能力以相对存活率(与对照组100%相比)表示。通过LPS刺激的H441细胞生存能力为(98.53±0.20)% ,与对照组(CON)相比,LPS刺激使H441细胞生存能力明显降低($P<0.01$);将BMSCs与H441细胞共培养24 h后,测得共培养(CO)组细胞的生存能力为(121.67±3.13)% ,与对照组相比,共培养组H441细胞有更好的生存能力,差异有明显统计学意义($P<0.01$);将给予LPS的H441细胞与BMSCs共培养(CO+LPS)后,H441细胞的生存能力为(119.37±2.36)% ,与单独应用LPS组相比,H441细胞的生存能力显著增强($P<0.001$)。以上结果表明,BMSCs能够增加H441细胞生理及在ALI病理条件下的生存能力。

2.2 BMSCs对H441细胞中γ-ENaC蛋白表达水平的影响

如图2所示,LPS组与对照(CON)组相比较,H441细胞中γ-ENaC蛋白表达降低($P<0.05$);将BMSCs与H441细胞共培养(CO)能提高γ-ENaC蛋白表达水平,差异具有统计学意义($P<0.05$);并且我们还发现,将LPS预处理的H441细胞与BMSCs共



** $P<0.01$,与CON组比较; &&& $P<0.001$,与LPS组比较; $n=3$ 。

** $P<0.01$ compared with CON group; &&& $P<0.001$ compared with LPS group; $n=3$.

图1 BMSCs对H441细胞生存能力的影响
Fig.1 Effect of BMSCs on the viability of H441 cells

培养(CO+LPS), 与单独应用LPS组相比, BMSCs能使 γ -ENaC蛋白表达升高($P<0.05$)。上述结果表明, BMSCs能增加H441中 γ -ENaC的蛋白表达水平。

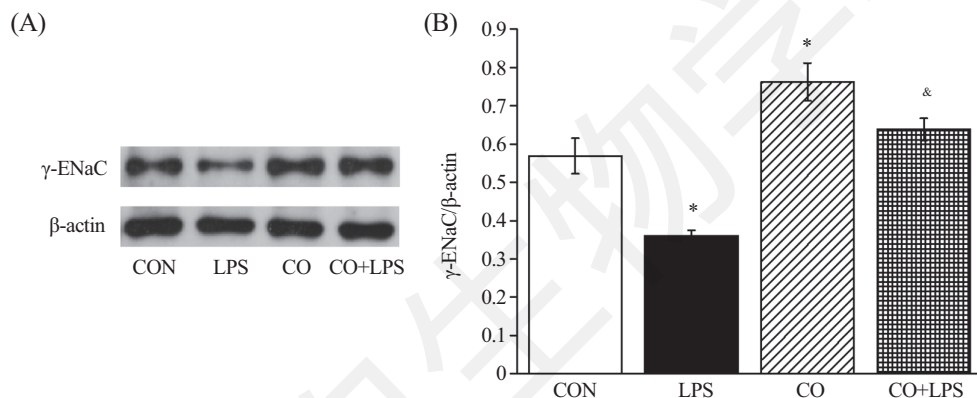
2.3 BMSCs对H441中miR-130b表达情况的影响

图3为qRT-PCR技术检测BMSCs与H441细胞共培养后, H441细胞中miR-130b的表达情况。与对照组(CON) 100%相比, LPS组miR-130b的表达量降低($P<0.05$), 而共培养(CO)后可以增加miR-130b的表达($P<0.05$), 其表达量升高至(145.18±21.16)%; 将LPS预处理的细胞与BMSCs共培养(CO+LPS), 与单独应用LPS处理组相比, miR-130b的表达升高至(132.47±5.19)%，差异有统计学意义($P<0.05$)。结果

表明, BMSCs增加了H441中miR-130b的表达, 由此我们推测, miR-130b可能参与上述BMSCs对ENaC的调控作用。

2.4 miR-130b对H441细胞中 γ -ENaC蛋白表达水平的影响

图4为将miR-130b模拟物与其抑制剂分别转染到H441细胞中, 通过Western blot技术检测的miR-130b对H441细胞 γ -ENaC蛋白表达的影响。与阴性对照(NC)组相比, miR-130b模拟物(Mimic)组中的H441细胞中 γ -ENaC蛋白表达明显升高($P<0.01$); miR-130b抑制剂组(inhibitor)与其对照(IN+NC)相比, H441细胞中 γ -ENaC蛋白表达降低, 差异具有统计学

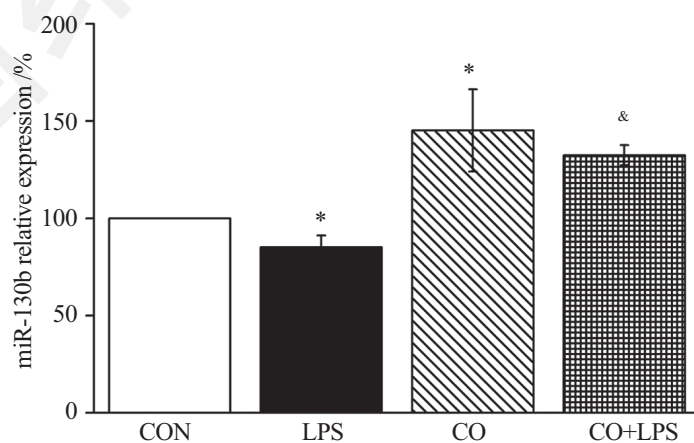


A: Western blot技术检测BMSCs对H441细胞中 γ -ENaC蛋白表达水平影响的条带图; B: 相应的统计图; * $P<0.05$, 与CON组比较; & $P<0.05$, 与LPS组比较; $n=3$ 。

A: the band diagram of Western blot to analyze the effect of BMSCs on the expression of γ -ENaC protein in H441 cells; B: statistical analysis; * $P<0.05$ compared with CON group; & $P<0.05$ compared with LPS group; $n=3$.

图2 BMSCs对H441细胞中 γ -ENaC蛋白表达水平的影响

Fig.2 Effect of BMSCs on the expression of γ -ENaC protein in H441 cells

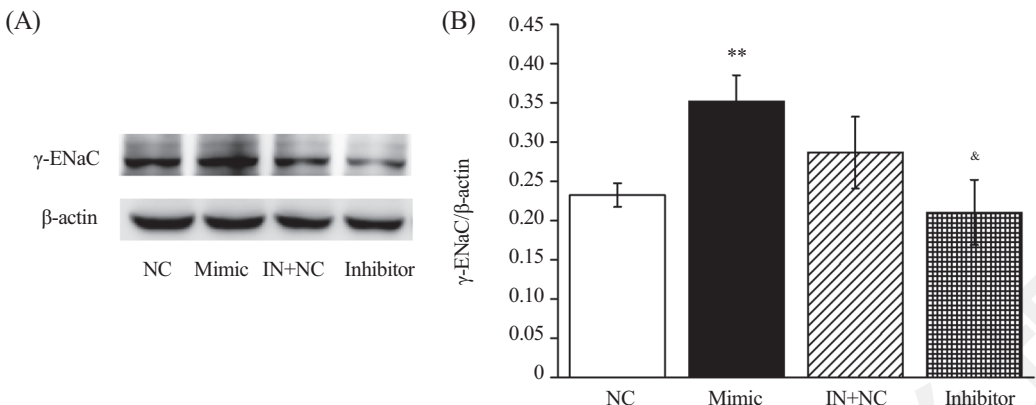


qRT-PCR技术检测BMSCs对H441中miR-130b表达影响的统计图。* $P<0.05$, 与CON组比较; & $P<0.05$, 与LPS组比较; $n=4$ 。

Statistical analysis of the effect of BMSCs on the expression of miR-130b in H441 by qRT-PCR. * $P<0.05$ compared with CON group; & $P<0.05$ compared with LPS group; $n=4$.

图3 BMSCs对H441细胞中miR-130b表达情况的影响

Fig.3 Effect of BMSCs on the expression of miR-130b in H441 cells



A: Western blot技术检测miR-130b对H441细胞中 γ -ENaC蛋白表达水平影响的条带图; B: 相应的统计图; ** $P<0.01$, 与NC组比较; & $P<0.05$, 与IN+NC组比较; $n=4$ 。

A: the band diagram of Western blot to analyze the effect of miR-130b on the expression of γ -ENaC protein in H441 cells; B: statistical analysis; ** $P<0.01$ compared with the NC group; & $P<0.05$ compared with the IN+NC group; $n=4$.

图4 miR-130b对H441细胞中 γ -ENaC蛋白表达水平的影响

Fig.4 Effect of miR-130b on the expression of γ -ENaC protein in H441 cells

意义($P<0.05$)。以上结果显示, miR-130b能够上调 γ -ENaC蛋白表达水平。

3 讨论

ALI是一种临床综合征, 表现为炎症反应、肺水肿、肺内皮和上皮损伤导致的急性呼吸衰竭, 其中严重的肺水肿是ALI的主要特征^[11]。ENaC主要生理功能为跨紧密连接上皮进行单向转运钠离子, 从而调节水和离子转运, 在肺泡液体清除过程中具有重要作用。人体中的ENaC由四种亚基组成: α 、 β 、 γ 和 δ ^[12], 其中 γ -ENaC对维持正常的肺泡液清除至关重要^[13-16]。尽管支持治疗(肺保护性通气和保守的液体治疗)得到改善, 但ALI的总体死亡率仍然很高^[17], 因此对新型治疗策略有很高的需求。近年来, MSCs在许多领域已被证实有很好的治疗效果, 已经成为包括ALI在内的多种肺部疾病潜在的治疗方式, 有研究已经证明, 气管内或静脉内给予MSCs对ALI是有益的^[18]。本实验应用LPS构建了ALI模型, 将BMSCs与H441细胞进行了共培养, 通过CCK-8实验证实了BMSCs能够增加H441的生存能力, 进一步通过Western blot技术验证了BMSCs能够增强H441细胞中 γ -ENaC的蛋白表达水平。

MSCs可通过旁分泌作用释放许多物质, 包括多种可溶性因子、外泌体以及miRNA等参与ALI。miRNA是一类由内源基因编码的长度约为20~24个核苷酸的非编码单链RNA分子, 它通过与其目标mRNA分子的3'端非编码区域互补匹配导致该

mRNA分子的翻译受到抑制^[19], 有研究发现, miRNA可以调控ENaC^[9]。我们推测, MSCs与H441细胞进行共培养, MSCs可能通过分泌某些miRNA对H441细胞中的ENaC产生影响, 进而对水肿性ALI起保护作用。

在本实验中, 我们首先应用Miranda和TargetScan等多个预测软件对miRNA进行了预测, 筛选出可能与ENaC相关的miRNA^[10], 并且结合有关报道我们选取了一种既存在于MSCs中又可能对ENaC有调节作用的miRNA即miR-130b进行了相关研究^[20]。首先我们检测了共培养后H441细胞中miR-130b的表达情况, 结果表明, BMSCs可增加H441细胞miR-130b的表达, 我们推测, BMSCs可能通过miR-130b调节ENaC。接下来我们进行了miR-130b及其抑制剂的转染实验, 用Western blot实验证实miR-130b能够上调 γ -ENaC的蛋白表达水平。由此我们推测, BMSCs能够增强生理及ALI条件下H441细胞的生存能力并且可增加上述条件下 γ -ENaC的蛋白表达水平, 其可能通过miR-130b发挥对ENaC的调控作用。研究表明, MSCs可以发挥植入、分化和免疫调节等多种功能^[21], 在多种肺部疾病的治疗中发挥着很大的潜能。同时miRNA参与生命过程中一系列的重要进程, 在体内代谢过程中起到多种调控作用^[8]。既往研究表明, miR-130b能够靶向作用于十号染色体上缺失的磷酸酶与张力蛋白同源物(phosphatase and tensin homolog deleted on chromosome ten, PTEN)^[22-23], 也有文献报道发现, PI3K/Akt通路可以上调ENaC^[24-26], 而PTEN在PI3K/Akt通路中起着负调节因子的作用, 因

此我们推测 miR-130b 可能通过靶向作用于 PTEN 进而间接调节 ENaC, 我们将在未来的实验中对此机制进行证实, 同时我们还将应用相关在体实验进一步验证上述推测。本研究结果对在临幊上应用 MSCs 及 miRNA 治疗水肿性 ALI 提供了一定的理论基础及借鉴意义。

参考文献 (References)

- [1] ZHAI Y, ZHOU X, DAI Q, et al. Hydrogen-rich saline ameliorates lung injury associated with cecal ligation and puncture-induced sepsis in rats [J]. *Exp Mol Pathol*, 2015, 98(2): 268-76.
- [2] DENG J, WANG D X, LIANG A L, et al. Effects of baicalin on alveolar fluid clearance and α -ENaC expression in rats with LPS-induced acute lung injury [J]. *Can J Physiol Pharmacol*, 2016, 95(2): 122.
- [3] XU T, ZHANG Y, CHANG P, et al. Mesenchymal stem cell-based therapy for radiation-induced lung injury [J]. *Stem Cell Res Ther*, 2018, 9(1): 18.
- [4] CHAMBERS D C, ENEVER D, LAWRENCE S, et al. Mesenchymal stromal cell therapy for chronic lung allograft dysfunction: results of a first in man study [J]. *Stem Cells Transl Med*, 2017, 6(4): 1152-7.
- [5] DANCHUK S, YLOSTALO J H, HOSSAIN F, et al. Human multipotent stromal cells attenuate lipopolysaccharide-induced acute lung injury in mice via secretion of tumor necrosis factor- α -induced protein 6 [J]. *Stem Cell Res Ther*, 2011, 2(3): 27.
- [6] ZHOU Y, LI P, GOODWIN A J, et al. Exosomes from endothelial progenitor cells improve outcomes of the lipopolysaccharide-induced acute lung injury [J]. *Critical Care*, 2019, 23(1): 44.
- [7] ZHU YG, FENG XM, ABBOTT J, et al. Human mesenchymal stem cell microvesicles for treatment of Escherichia coli endotoxin-induced acute lung injury in mice [J]. *Stem Cells*, 2014, 32(1): 116-25.
- [8] MOOK L S, HYUNSOO C, GEUMJIN Y, et al. microRNAs mediate oleic acid-induced acute lung injury in rats using an alternative injury mechanism [J]. *Mol Med Rep*, 2014, 10(1): 292-300.
- [9] QIN K, ZHONG X, WANG D. MicroRNA-7-5p regulates human alveolar epithelial sodium channels by targeting the mTORC2/SGK-1 signaling pathway [J]. *Exp Lung Res*, 2016, 42(5): 237-44.
- [10] DENG J, WANG D X, DENG W, et al. Regulation of alveolar fluid clearance and ENaC expression in lung by exogenous angiotensin II [J]. *Respir Physiol Neurobiol*, 2012, 181(1): 53-61.
- [11] KARDIA E, ZAKARIA N, WIDERA D, et al. The use of mesenchymal stromal cells in treatment of lung disorders [J]. *Regen Med*, 2017, 12(2): 203-16.
- [12] CA D, DQ T, LH K, et al. Correction: Ethanol alters alveolar fluid balance via NADPH Oxidase (NOX) signaling to epithelial sodium channels (ENaC) in the lung [J]. *Plos One*, 2013, 8(1): e54750.
- [13] QI W, LI H, CAI X H, et al. Lipoxin A4 activates alveolar epithelial sodium channel gamma via the microRNA-21/PTEN/AKT pathway in lipopolysaccharide-induced inflammatory lung injury [J]. *Lab Invest*, 2015, 95(11): 1258-68.
- [14] ELIAS N, RAFII B M, OTULAKOWSKI G, et al. The role of alpha-, beta-, and gamma-ENaC subunits in distal lung epithelial fluid absorption induced by pulmonary edema fluid [J]. *Am J Physiol Lung Cell Mol Physiol*, 2007, 293(3): 537-45.
- [15] AMPAWONG S, CHAISRI U, VIRIYAVEJAKUL P, et al. A potential role for interleukin-33 and γ -epithelium sodium channel in the pathogenesis of human malaria associated lung injury [J]. *Malar J*, 2015, 14(1): 389.
- [16] LU K, CHEN X, ZHU W, et al. Terbutaline alleviates the lung injury in the neonatal rats exposed to endotoxin: Potential roles of epithelial sodium channels [J]. *Pediatr Pulmonol*, 2019, 54(3): 280-88.
- [17] MOKRA D, KOSUTOVA P. Biomarkers in acute lung injury [J]. *Respir Physiol Neurobiol*, 2015, 209(4): 52-58.
- [18] YANG C, JIANG J, YANG X, et al. Stem/progenitor cells in endogenous repairing responses: new toolbox for the treatment of acute lung injury [J]. *J Transl Med*, 2016, 14(1): 47.
- [19] LI W, MA K, ZHANG S, et al. Pulmonary microRNA expression profiling in an immature piglet model of cardiopulmonary bypass-induced acute lung injury [J]. *Artif Organs*, 2015, 39(4): 327-35.
- [20] SHENG C T, RUENN CHAI L, MAY MAY L, et al. Mesenchymal stem cell secretes microparticles enriched in pre-microRNAs [J]. *Nucleic Acids Res*, 2009, 38(1): 215-24.
- [21] JIWEI L, SHA H, YAN W, et al. Paracrine factors from mesenchymal stem cells: a proposed therapeutic tool for acute lung injury and acute respiratory distress syndrome [J]. *Int Wound J*, 2014, 11(2): 114-21.
- [22] LU Q, LIU T, FENG H, et al. Circular RNA circSLC8A1 acts as a sponge of miR-130b/miR-494 in suppressing bladder cancer progression via regulating PTEN [J]. *Mol Cancer*, 2019, 18(1): 111.
- [23] YE L, WANG Y, NIE L, et al. MiR-130 exerts tumor suppressive function on the tumorigenesis of human non-small cell lung cancer by targeting PTEN [J]. *Am J Transl Res*, 2017, 9(4): 1856-65.
- [24] ZHANG J L, ZHUO X J, LIN J, et al. Maresin1 stimulates alveolar fluid clearance through the alveolar epithelial sodium channel Na,K-ATPase via the ALX/PI3K/Nedd4-2 pathway [J]. *Lab Invest*, 2017, 97(5): 543-54.
- [25] QI D, HE J, WANG D, et al. 17 β -estradiol suppresses lipopolysaccharide-induced acute lung injury through PI3K/Akt/SGK1 mediated up-regulation of epithelial sodium channel (ENaC) in vivo and in vitro [J]. *Respir Res*, 2014, 15(1): 159.
- [26] SALKER M S, STEEL J H, HOSSEINZADEH Z, et al. Activation of SGK1 in endometrial epithelial cells in response to PI3K/AKT inhibition impairs embryo implantation [J]. *Cell Physiol Biochem*, 2016, 39(5): 2077-87.